

[Abbildungen = Images]

Objekttyp: **Appendix**

Zeitschrift: **Bericht der Eidgenössischen Kommission zur Überwachung der Radioaktivität**

Band (Jahr): **13 (1969)**

PDF erstellt am: **28.05.2024**

Nutzungsbedingungen

Die ETH-Bibliothek ist Anbieterin der digitalisierten Zeitschriften. Sie besitzt keine Urheberrechte an den Inhalten der Zeitschriften. Die Rechte liegen in der Regel bei den Herausgebern.

Die auf der Plattform e-periodica veröffentlichten Dokumente stehen für nicht-kommerzielle Zwecke in Lehre und Forschung sowie für die private Nutzung frei zur Verfügung. Einzelne Dateien oder Ausdrucke aus diesem Angebot können zusammen mit diesen Nutzungsbedingungen und den korrekten Herkunftsbezeichnungen weitergegeben werden.

Das Veröffentlichen von Bildern in Print- und Online-Publikationen ist nur mit vorheriger Genehmigung der Rechteinhaber erlaubt. Die systematische Speicherung von Teilen des elektronischen Angebots auf anderen Servern bedarf ebenfalls des schriftlichen Einverständnisses der Rechteinhaber.

Haftungsausschluss

Alle Angaben erfolgen ohne Gewähr für Vollständigkeit oder Richtigkeit. Es wird keine Haftung übernommen für Schäden durch die Verwendung von Informationen aus diesem Online-Angebot oder durch das Fehlen von Informationen. Dies gilt auch für Inhalte Dritter, die über dieses Angebot zugänglich sind.

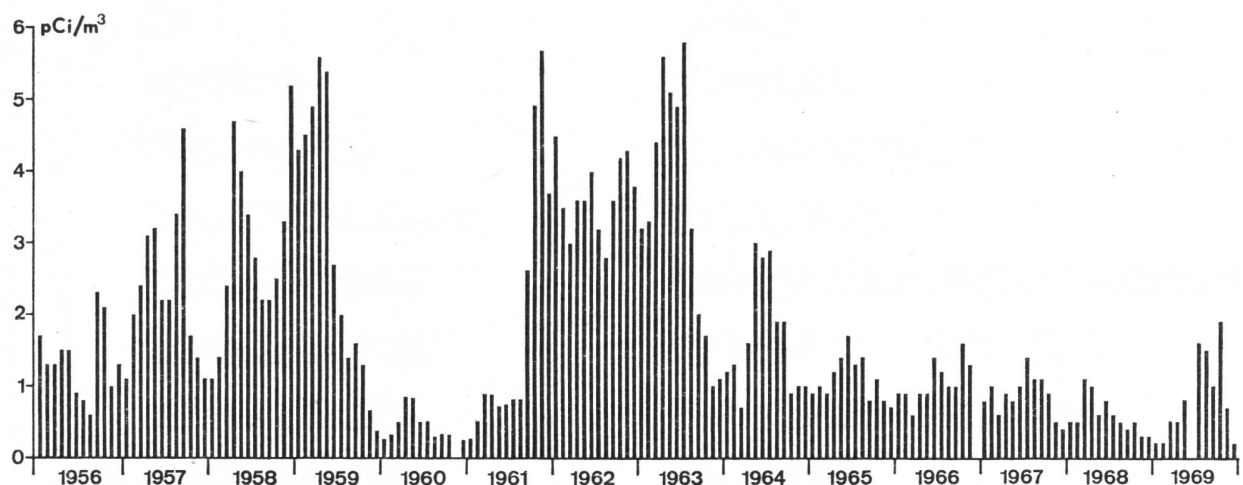


Fig. 1. Monatliche Mittelwerte der spezifischen Gesamt-Beta-Aktivität der Luft, bezogen auf 760 mm Hg und 0° C, für die Messstelle Payerne von 1956 bis 1969

Fig. 1. Moyennes mensuelles de l'activité spécifique bêta totale de l'air, à 760 mm Hg et 0° C, mesurées à la station de Payerne de 1956 à 1969

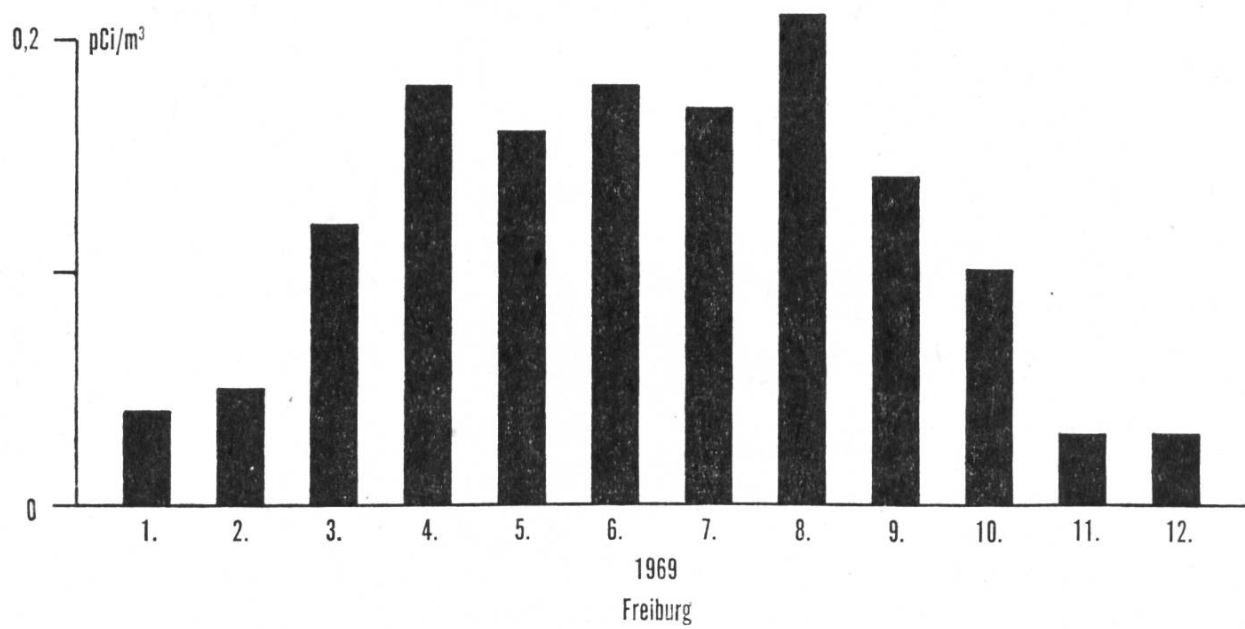
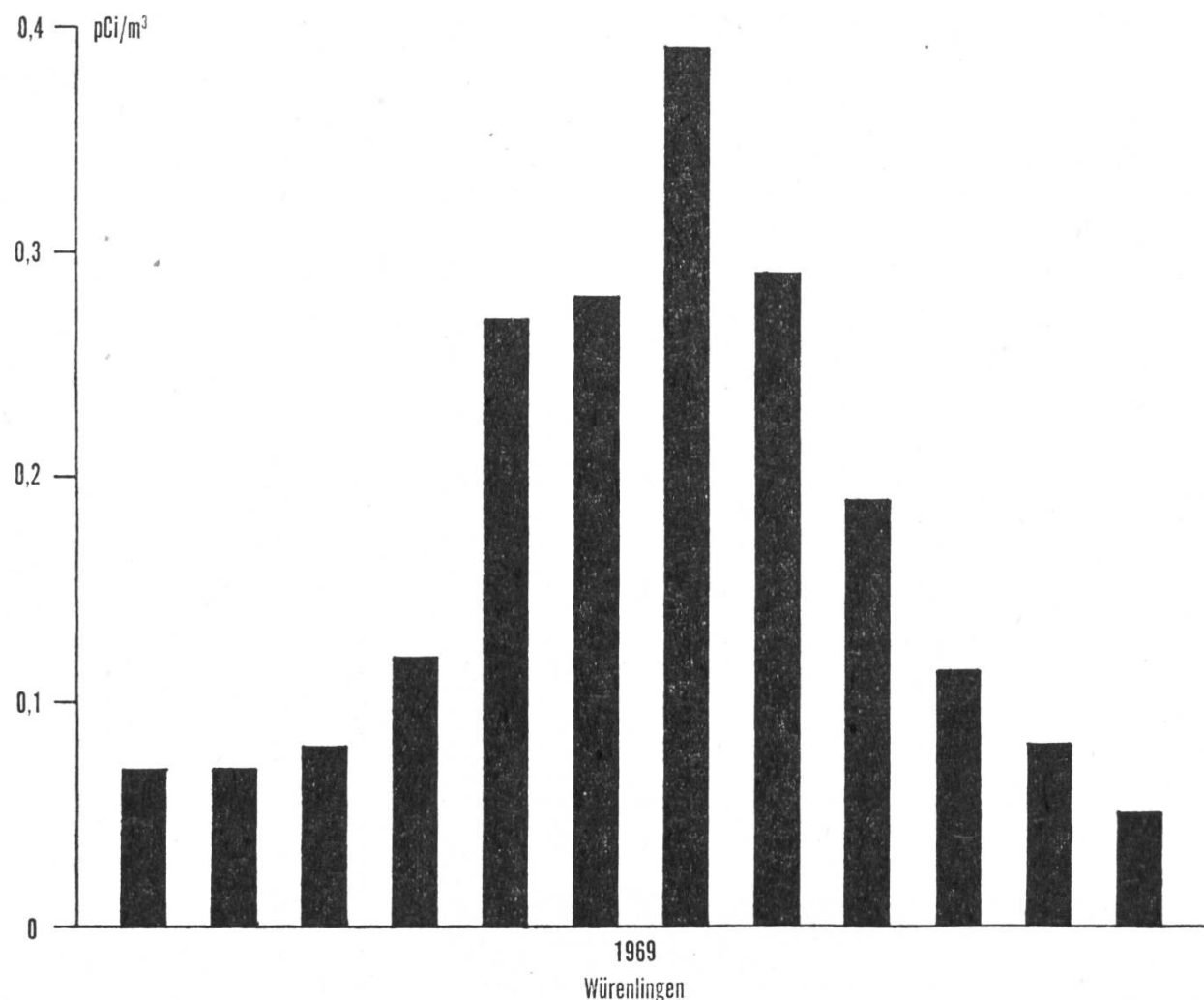


Fig. 2. Monatliche Mittelwerte der spezifischen Gesamt-Beta-Aktivität der Luft, bezogen auf 760 mm Hg und 0° C, für die Messstellen Fribourg und Würenlingen

Fig. 2. Moyennes mensuelles de l'activité spécifique bêta totale de l'air, à 760 mm Hg et 0° C, mesurées aux stations de Fribourg et Würenlingen

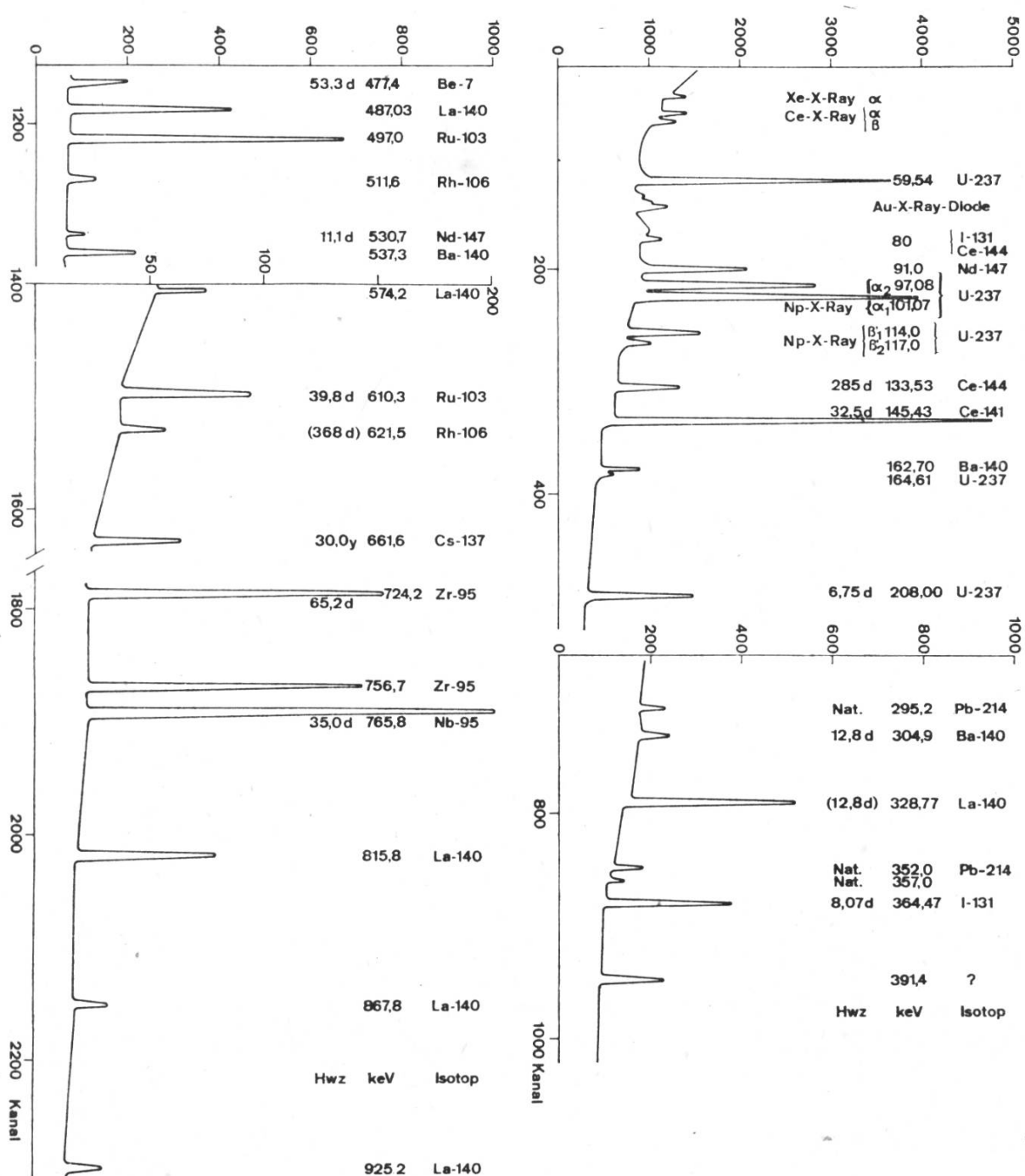


Fig. 3. Gammaspektrum einer Luftprobe (1320 kg) aus der untern Stratosphäre (12 900 m), gesammelt am 27. 1. 69, gemessen am 28. 1. 69 mit einer Ge-(Li)-Planardiode

Fig. 3. Spectre gamma d'un échantillon d'air (1320 kg) de la stratosphère inférieure (12 900 m), collecté le 27. 1. 69, mesuré le 28. 1. 69 avec une diode planaire Ge (Li)

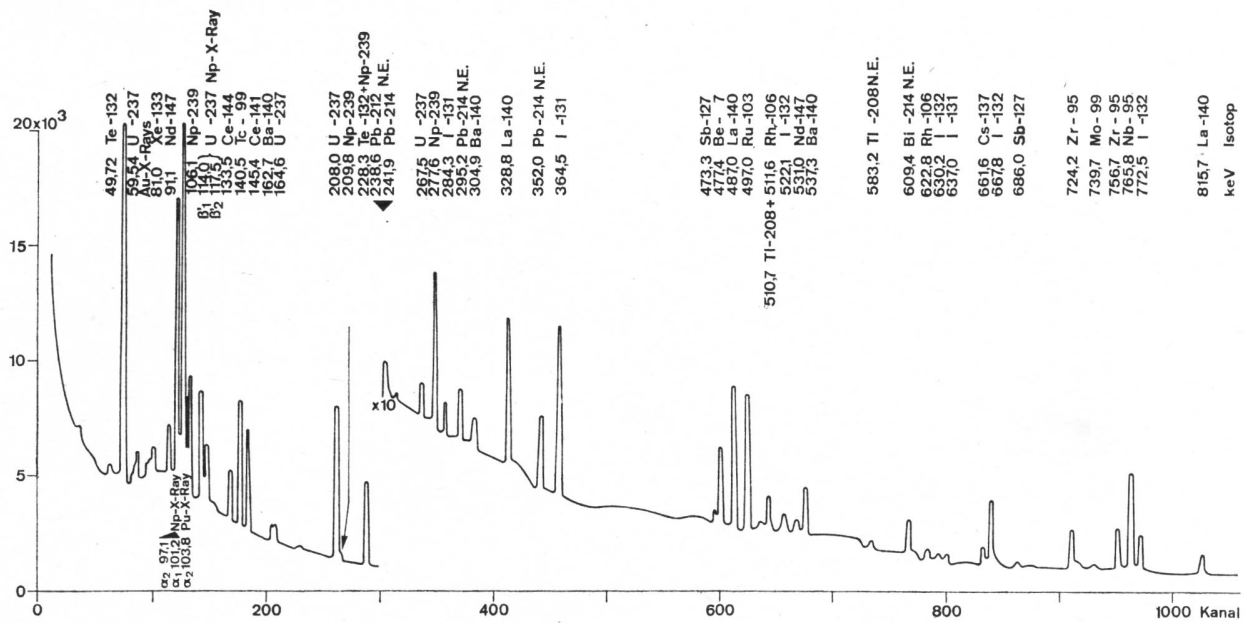


Fig. 4. Gammaspektrum einer Luftprobe (1650 kg) aus der oberen Troposphäre (13 200 m), gesammelt am 9. 10. 69, gemessen am 12. 10. 69 mit einer Ge-(Li)-Planardiode. N. E. = Nulleffekt

Fig. 4. Spectre gamma d'un échantillon d'air (1650 kg) de la troposphère supérieure (13 200 m), collecté le 9. 10. 69, mesuré le 12. 10. 69 avec une diode planaire Ge (Li). N. E. = Mouvement propre

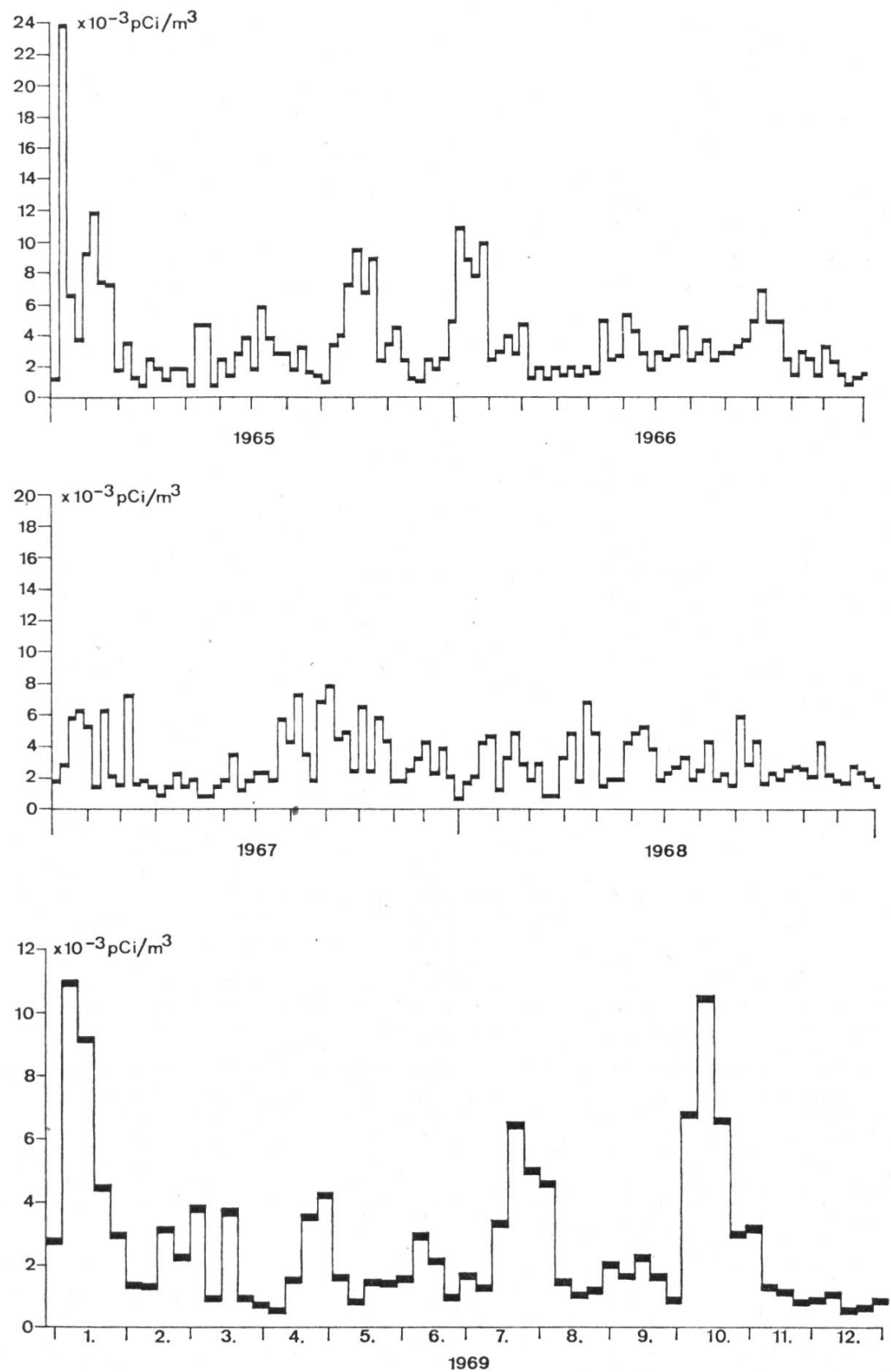


Fig. 5. Alpha-Aktivität von Luftfiltern aus Stein AG für die Jahre 1965 bis 1969
 Fig. 5. Activité alpha des filtres d'air de Stein AG pour les années 1965 à 1969

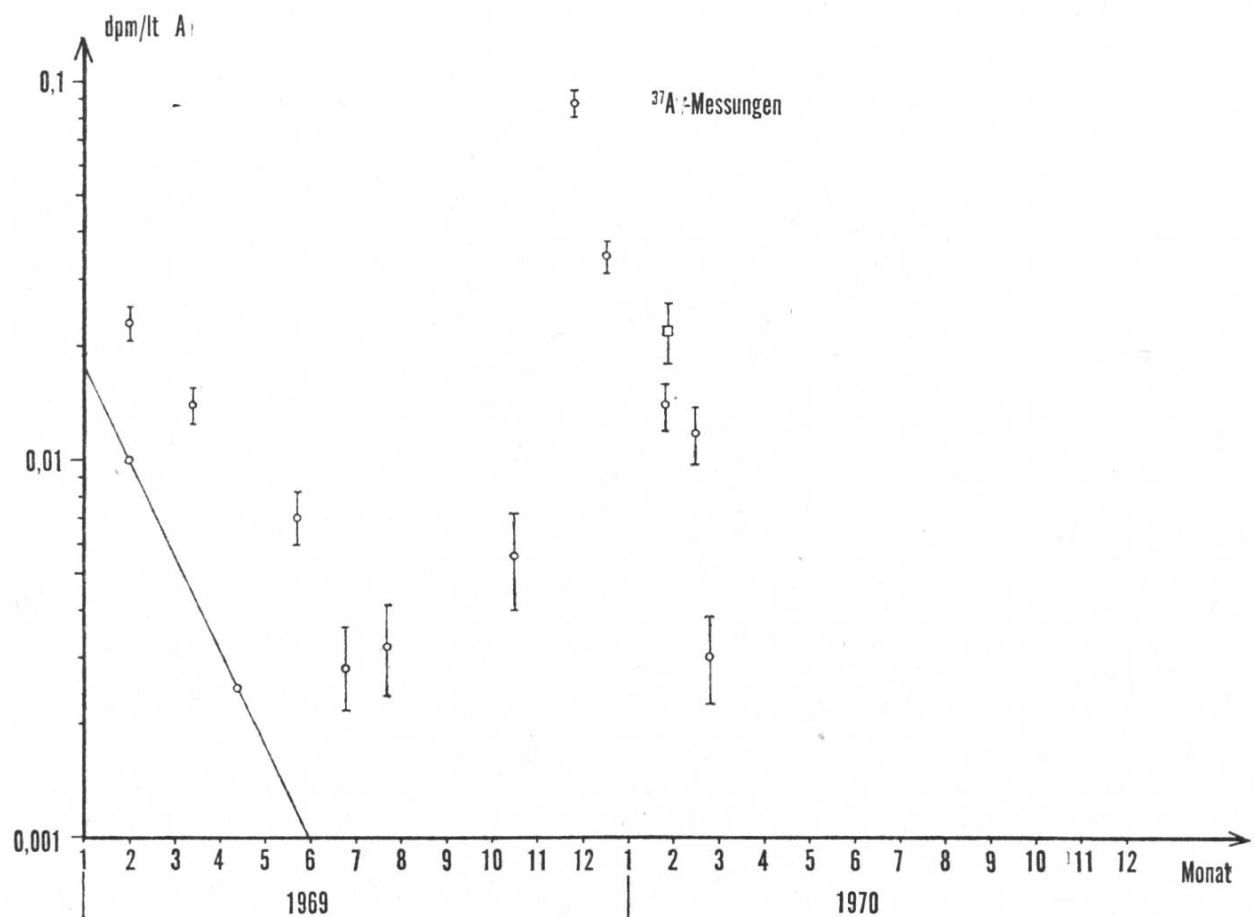


Fig. 6. A-37 in der Luft im Jahr 1969. Einheit: Zerfälle pro Minute/Liter A. Die ausgezogene Linie gibt den natürlichen Zerfall von A-37 an

Fig. 6. A-37 dans l'air pour l'année 1969. Unité: nombre de désintégrations par minute/litre d'A-37. Le trait oblique marque la désintégration naturelle de l'A-37

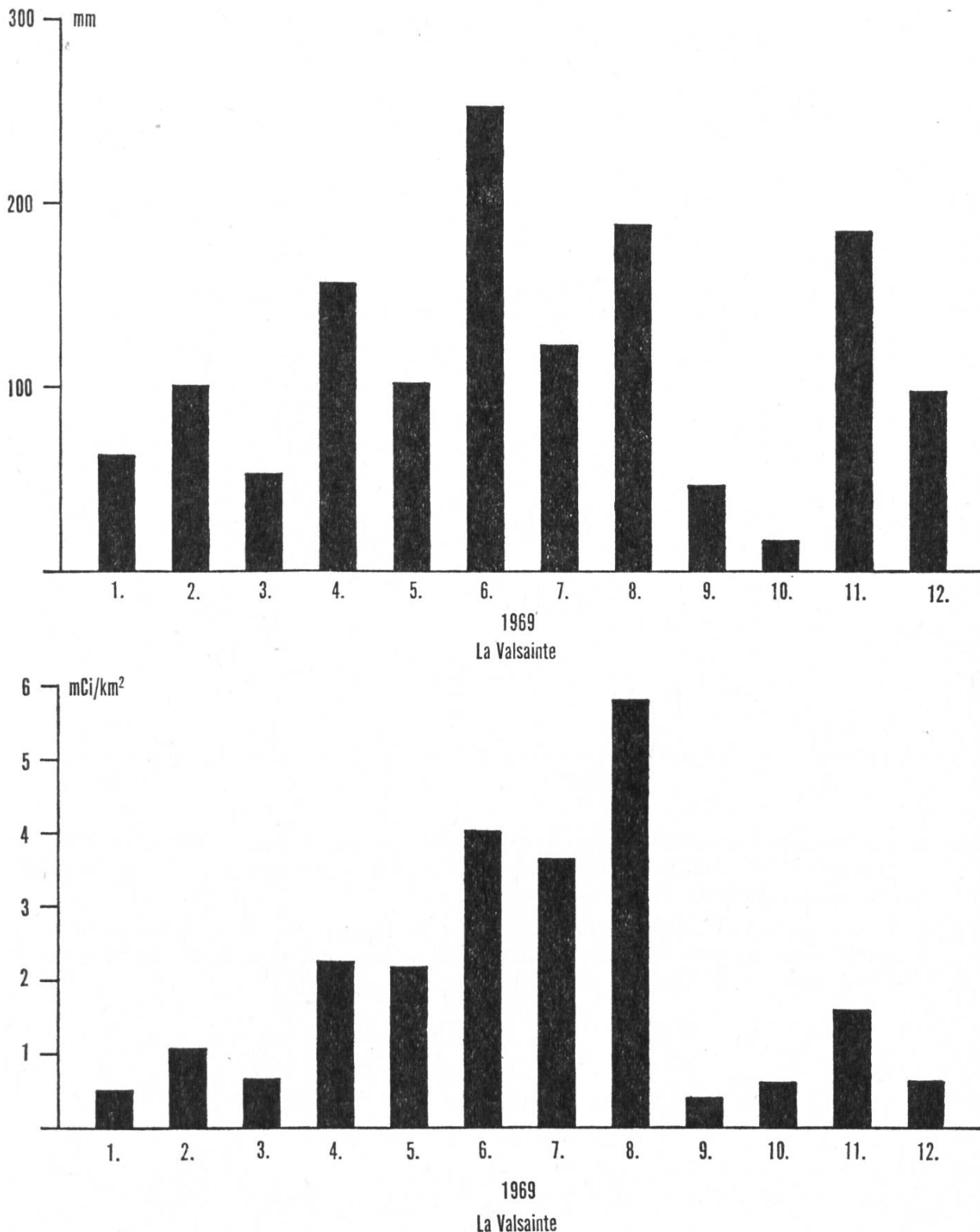


Fig. 7. Monatliche Niederschlagsmenge (oben) und monatliche, dem Erdboden durch Niederschlag zugeführte Gesamt-Beta-Aktivität pro km^2 Bodenfläche (unten) für die Messstelle La Valsainte

Fig. 7. Quantité mensuelle des précipitations (en haut) et activité bêta totale accumulée mensuellement par km^2 au sol par les précipitations (en bas) pour la station de La Valsainte

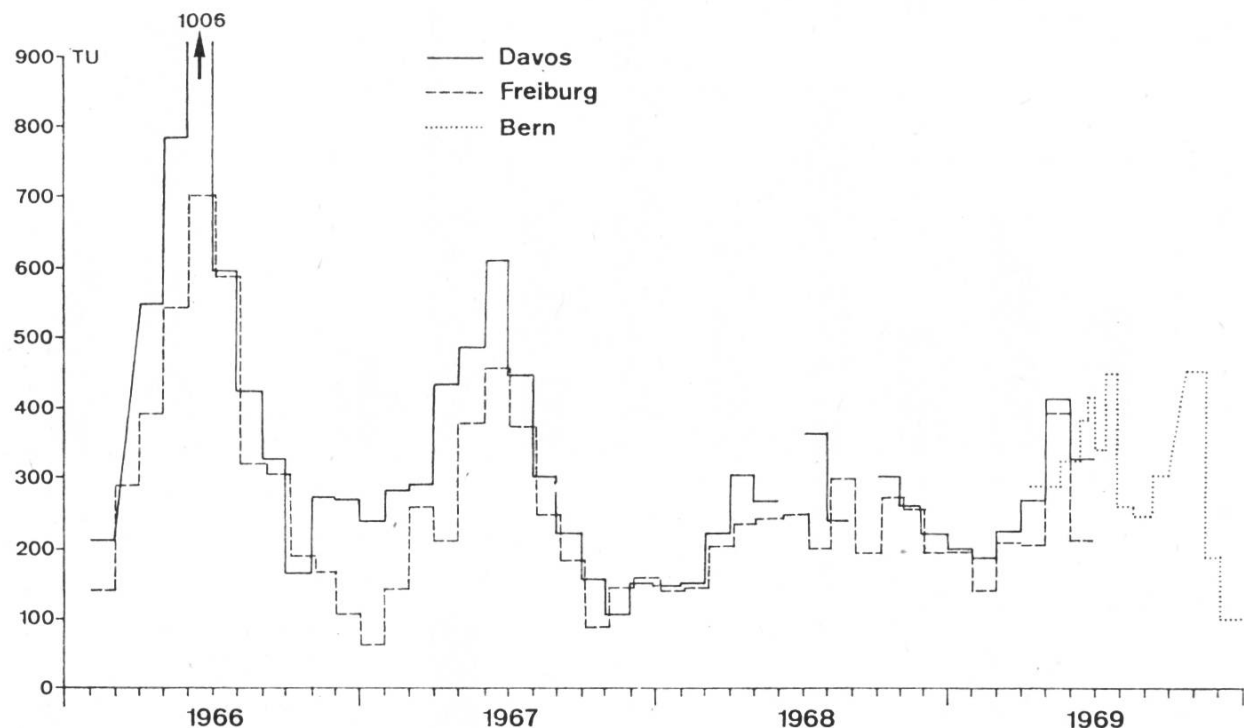


Fig. 8. Tritiumkonzentration in Regenproben aus Davos, Fribourg und Bern für die Jahre 1966 bis 1969. Einheit in TE: 1 TE = 1 Tritiumatom pro 10^{18} Wasserstoffatome, entsprechend 3,2 pCi/l Wasser

Fig. 8. Teneur en tritium d'échantillons de pluie de Davos, Fribourg et Berne pour les années 1966 à 1969. Données en TU: 1 TU = 1 atome de tritium par 10^{18} atomes d'hydrogène, soit 3,2 pCi/l d'eau

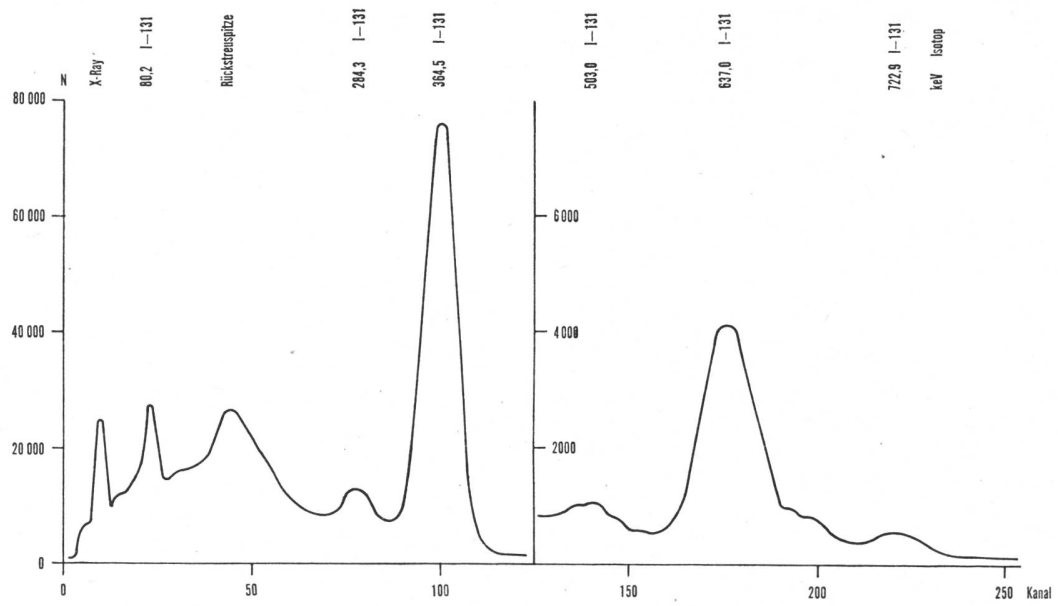


Fig. 9. Gammaspktrum einer Abwasserprobe des AKW-Beznau, entnommen 19. 12. 69, gemessen 23. 12. 69 mit NaI-Kristall 3×3 Zoll
Fig. 9. Spectre gamma d'un échantillon d'eau résiduaire de l'AKW Beznau, prélevé le 19.12.69, mesuré le 23. 12. 69 avec un cristal de NaI de 3×3 pouces

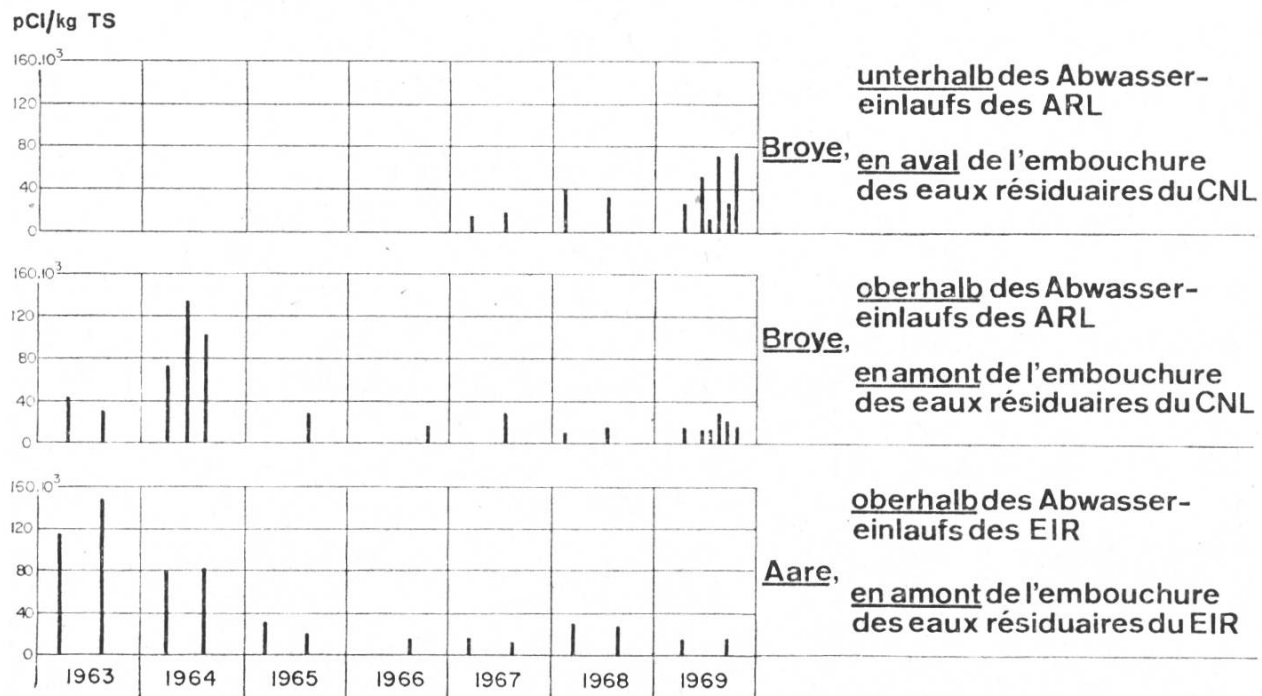


Fig. 10. Gesamt-Beta-Aktivität der Sedimentproben aus der Broye unter- und oberhalb des Abwassereinlaufs des Atomreaktors Lucens und der Aare oberhalb des Abwassereinlaufs des Eidg. Instituts für Reaktorforschung von 1963 bis 1969

Fig. 10. Activité bêta totale des échantillons de sédiment en aval et en amont de l'embouchure des eaux résiduaires du Centre Nucléaire Lucens et en amont de l'embouchure des eaux résiduaires de l'Institut fédéral de recherches en matières de réacteurs de 1963 à 1969

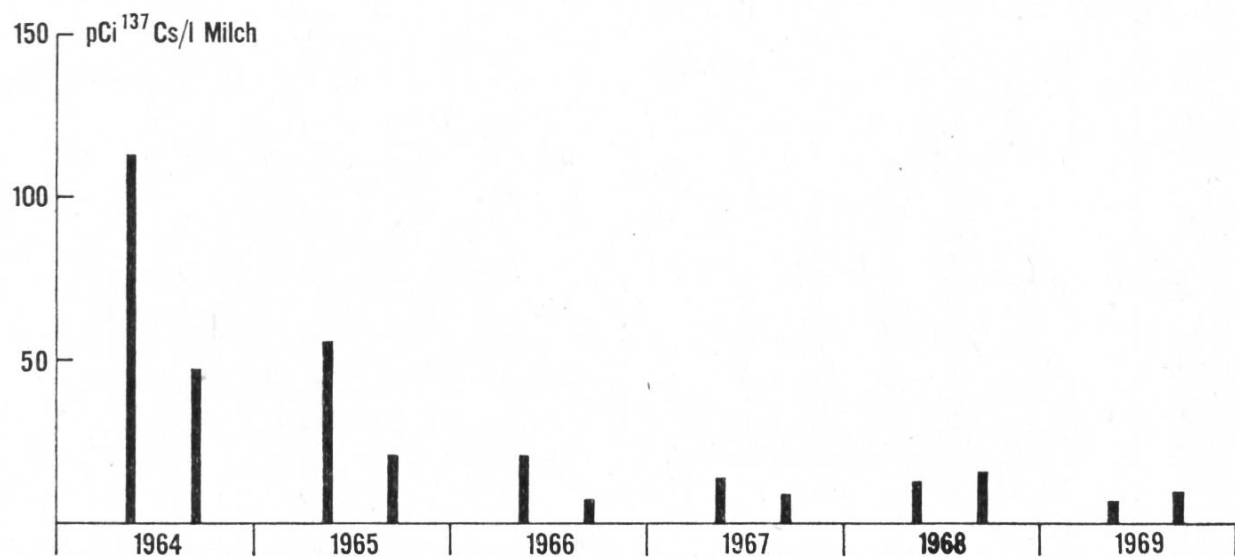
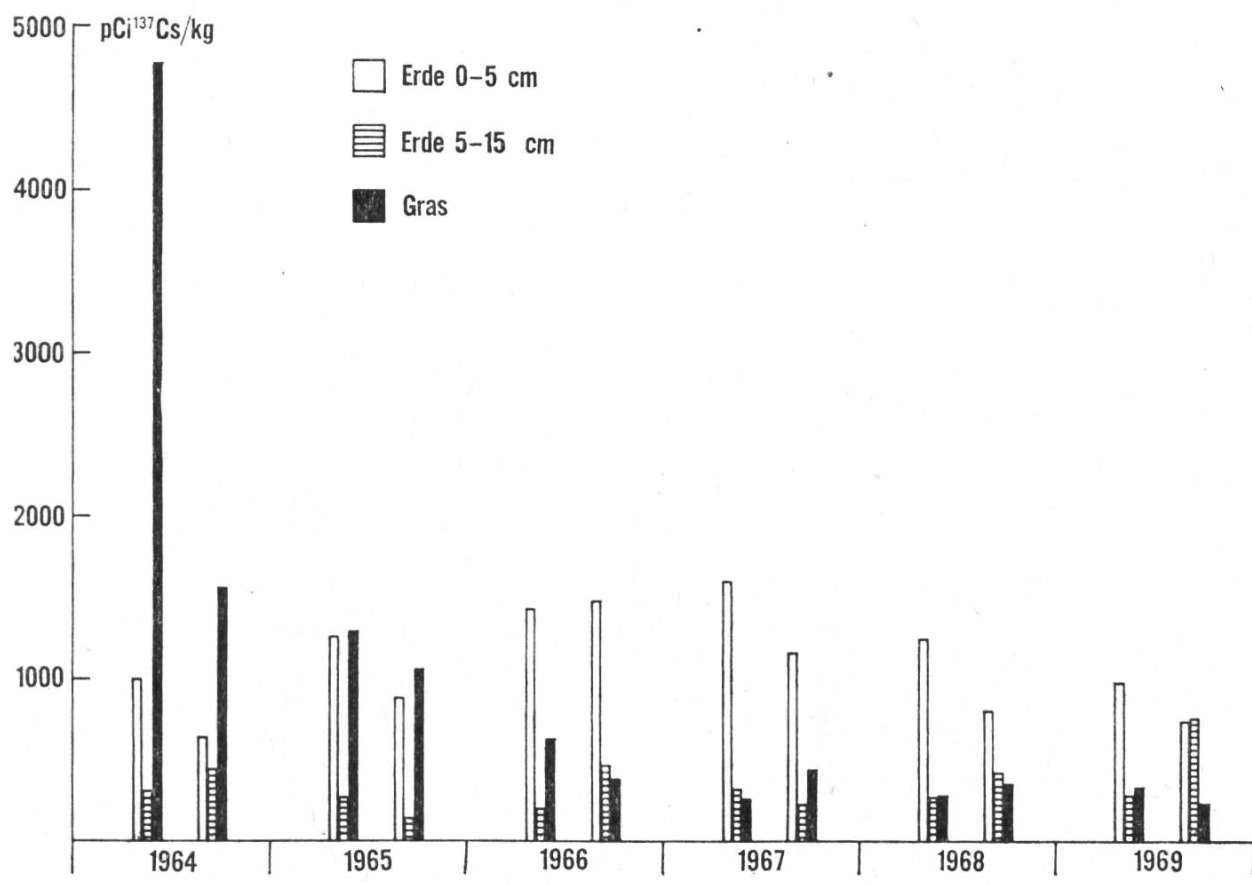
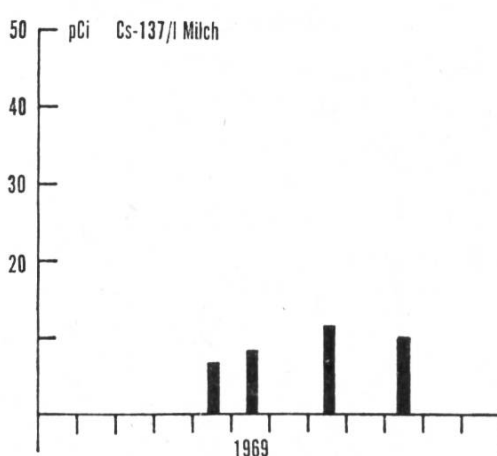
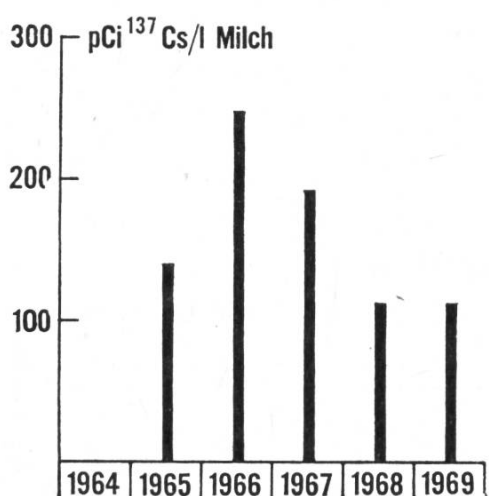
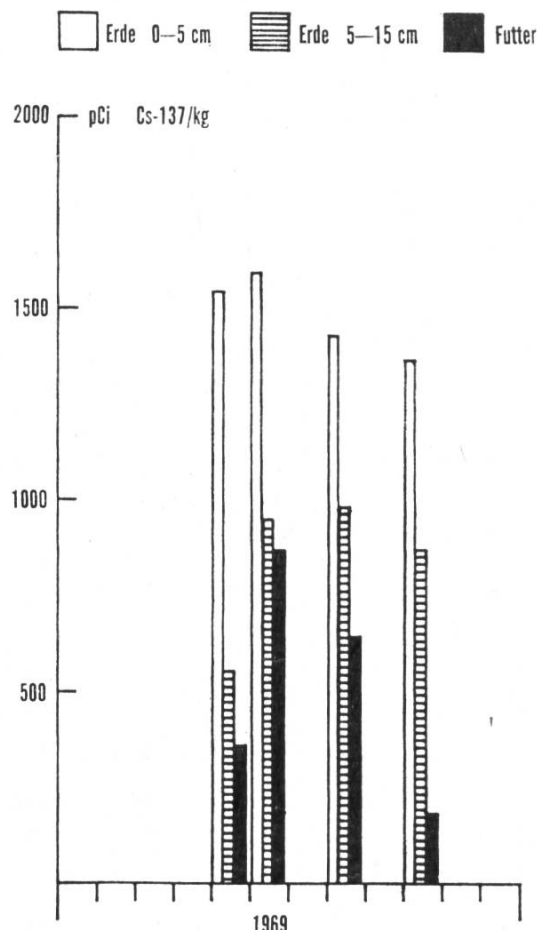
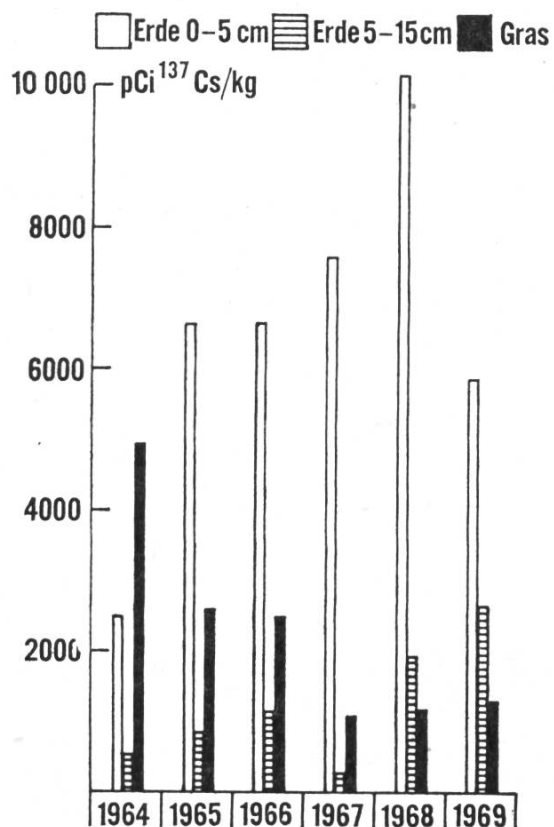


Fig. 11. Cs-137-Aktivität von Erdboden, Gras und Milch, Arenenberg TG, 1964 bis 1969
 Fig. 11. Activité du Cs-137 dans le sol, dans l'herbe et dans le lait à Arenenberg TG, 1964 à 1969



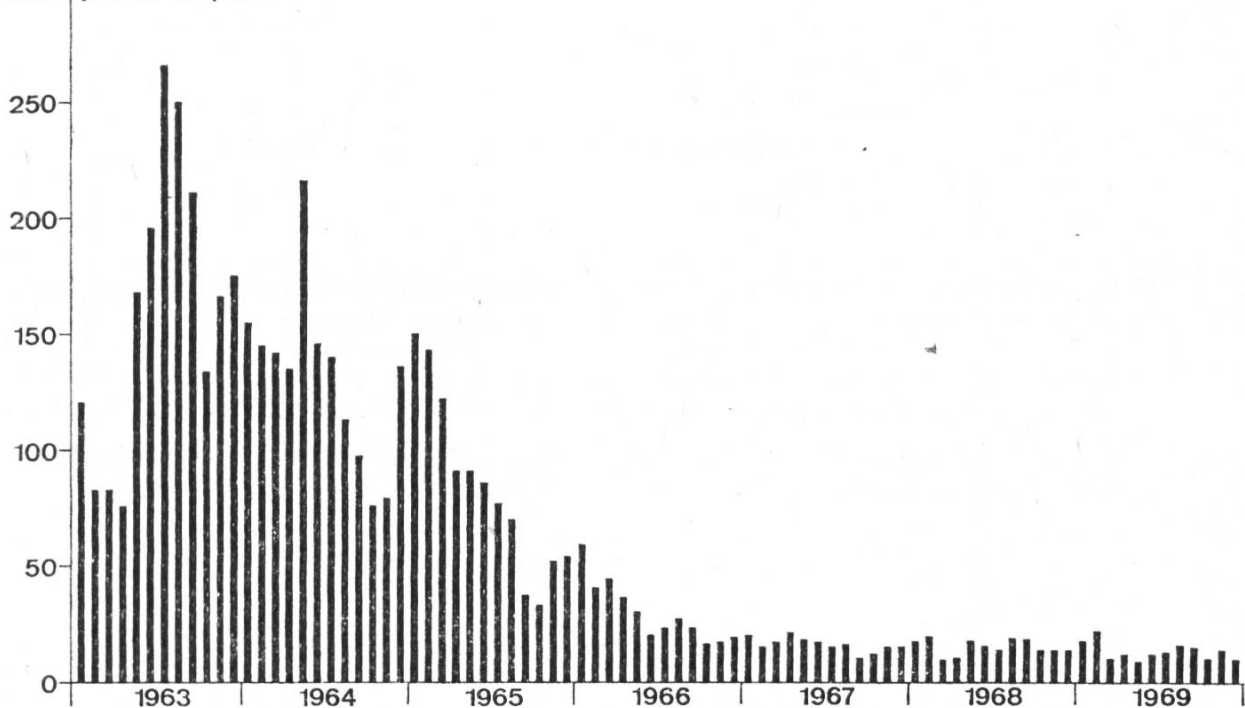
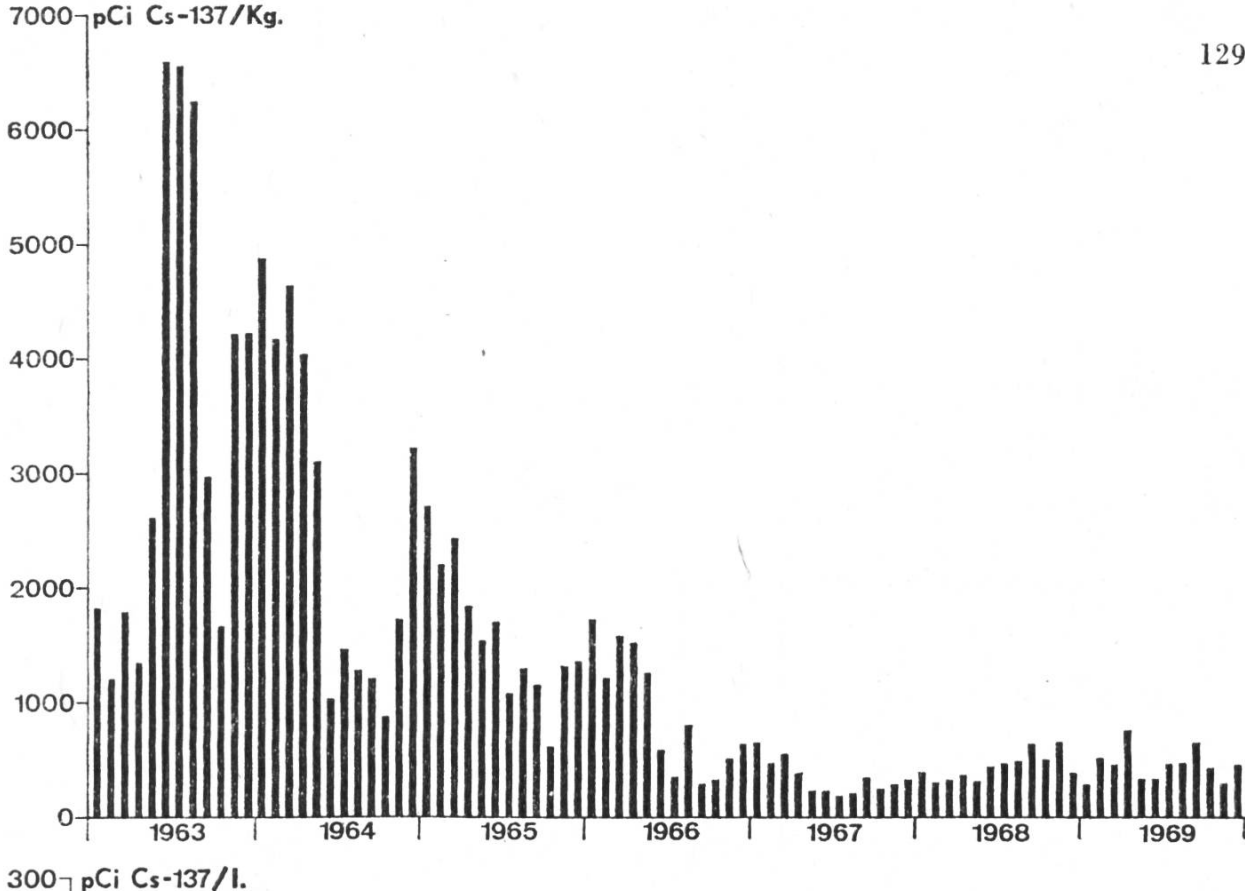


Fig. 14. Oben: Cs-137-Gehalt von Viehfutter (monatliche Probenahme), Ostschweiz 1963 bis 1969

Unten: Cs-137-Gehalt von Milch (monatliche Probenahme zwei Tage nach derjenigen des Futters), Ostschweiz 1963 bis 1969

Fig. 14. En haut: Teneur en Cs-137 du fourrage (prélèvement mensuel d'échantillons), Suisse orientale 1963 à 1969

En bas: Teneur en Cs-137 du lait (prélèvement mensuel d'échantillons), Suisse orientale 1963 à 1969

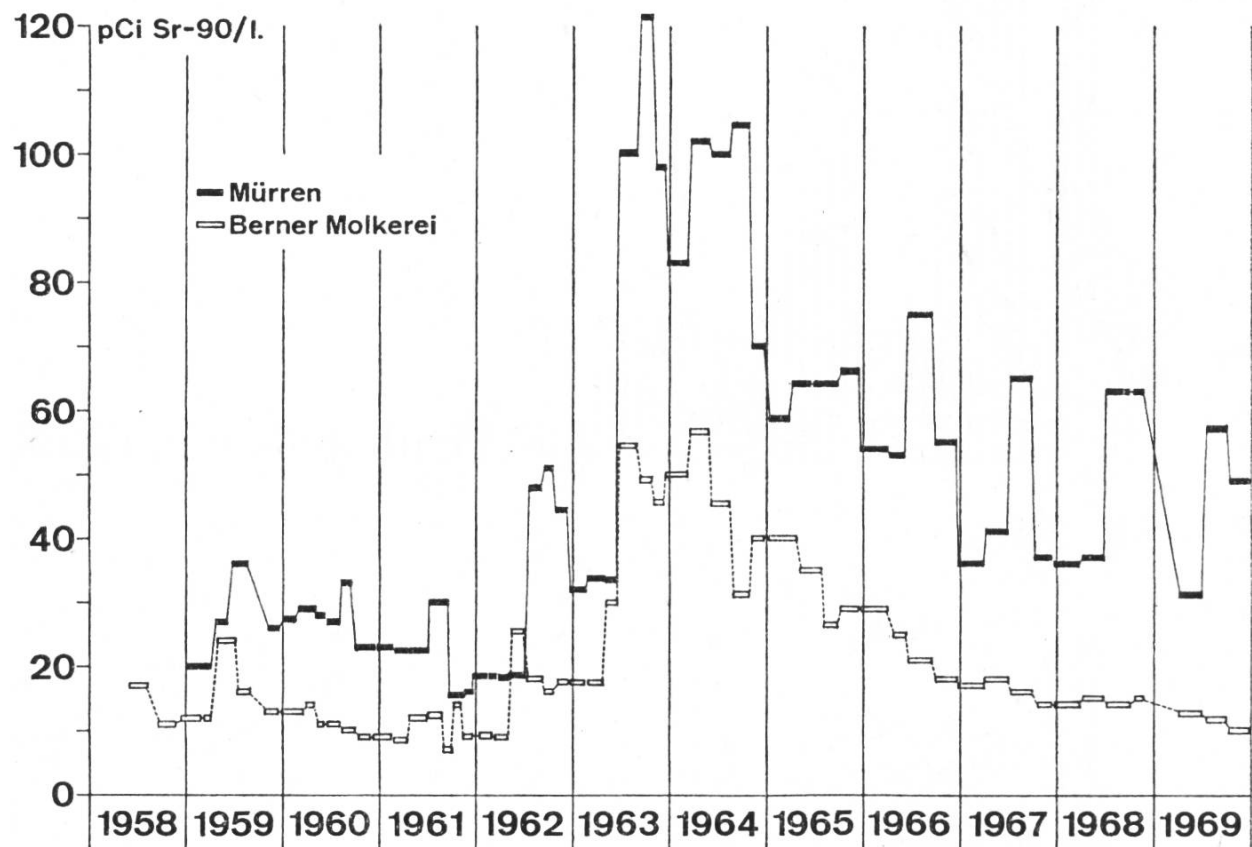


Fig. 15. Spezifische Strontium-90-Aktivität von Frischmilch aus dem Flachland (Bern, 540 m) und aus einer Höhenlage (Mürren, 1650 m) für die Jahre 1958 bis 1969

Fig. 15. Activité spécifique du strontium-90 dans le lait frais de plaine (Berne, 540 m) et de montagne (Mürren, 1650 m) pour les années 1958 à 1969

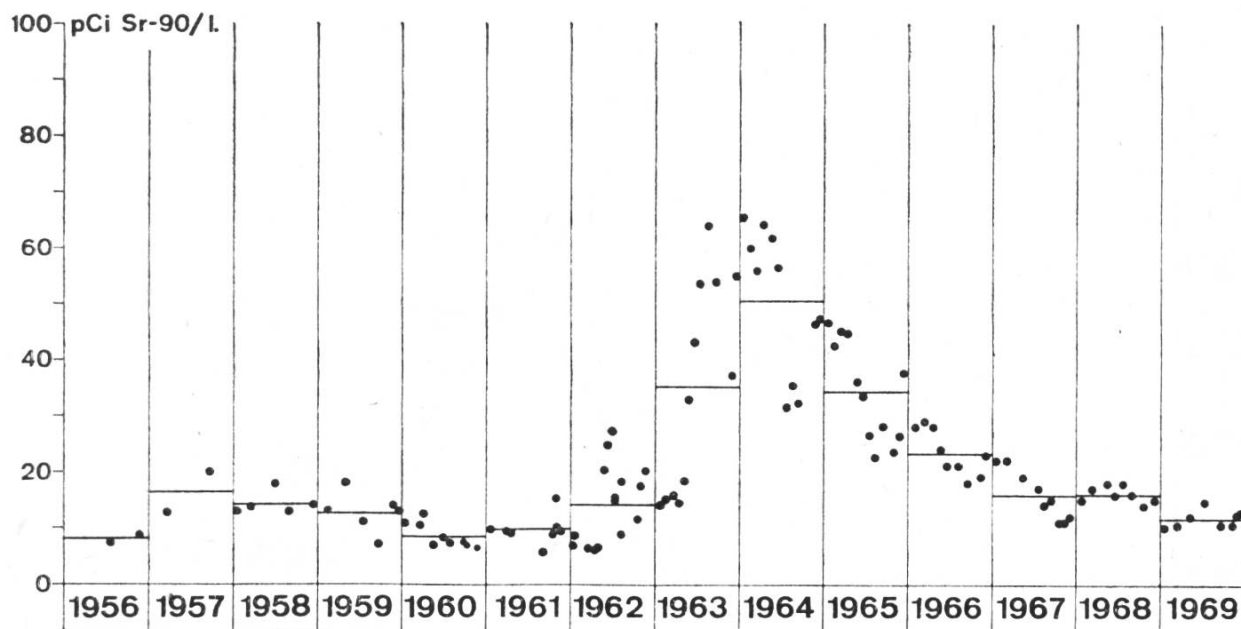


Fig. 16. Spezifische Strontium-90-Aktivität von Trockenmilch aus dem Kanton Waadt von 1956 bis 1969. Angaben in pCi/l Frischmilch

Fig. 16. Activité spécifique du strontium-90 dans le lait en poudre du canton de Vaud pour les années 1956 à 1969. Données en pCi/l lait frais

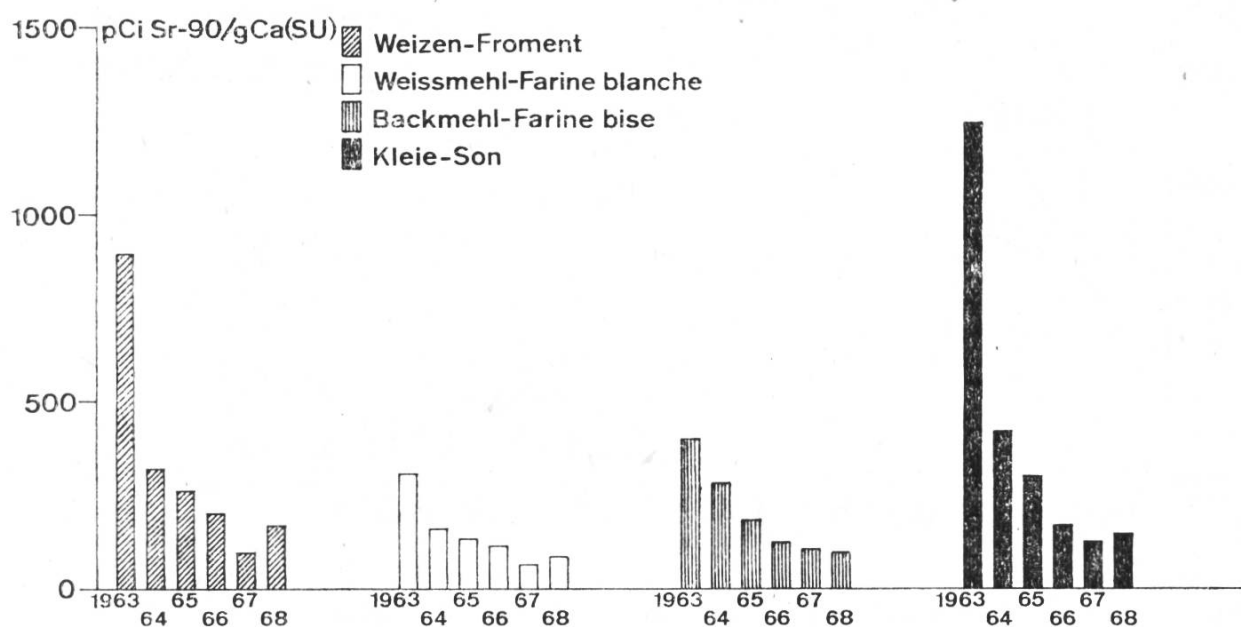


Fig. 17. Strontium-90-Aktivität pro g Kalzium von Weizen und Weizen-Mahlprodukten, gemittelt über 7 Herkunftsstellen für die Jahre 1963 bis 1968

Fig. 17. Activité du strontium-90 dans le froment et ses produits de mouture en pCi Sr-90 par g calcium, moyennes de sept provenances, pour les années 1963 à 1968

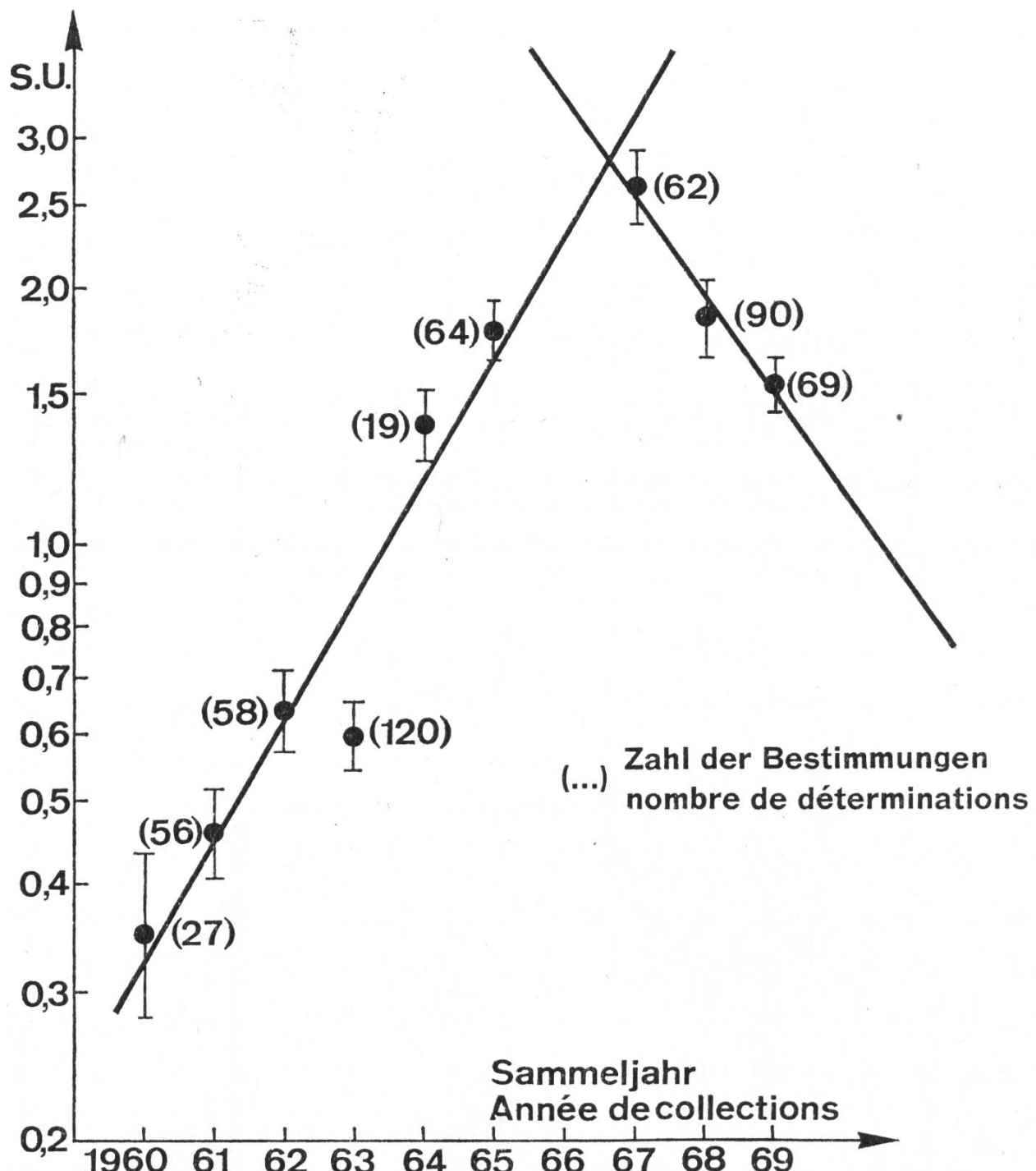


Fig. 18. Strontium-90-Analyse von Knochen Erwachsener für die Jahre 1960 bis 1969, angegeben in Strontium-Einheiten (pCi Sr-90/g Ca). In Klammern: Zahl der ausgeführten Analysen

Fig. 18. Analyses du strontium-90 dans les os d'adultes pour les années 1960 à 1969, en unités de strontium (pCi Sr-90/g Ca). Entre parenthèses: nombre d'analyses effectuées

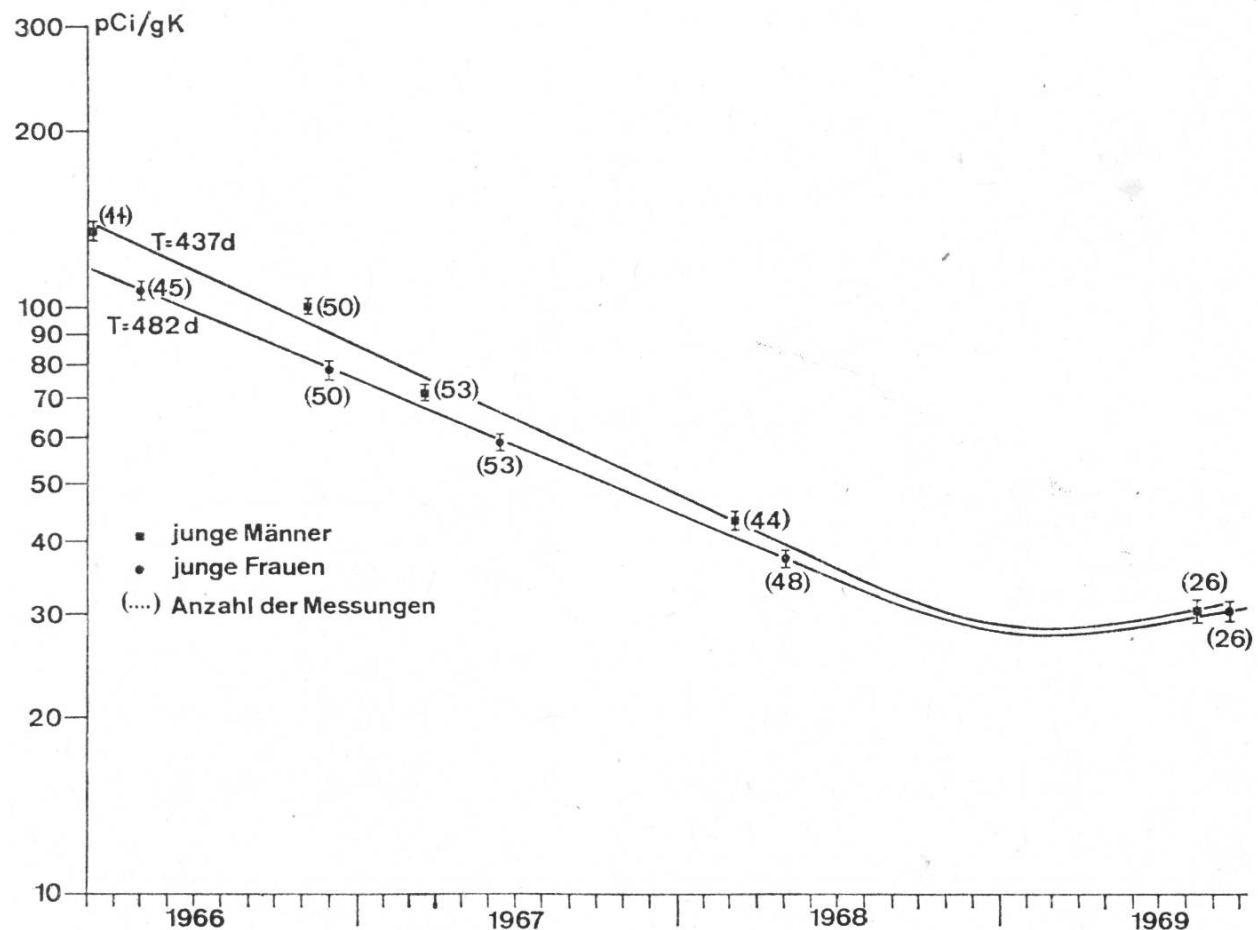


Fig. 19. Cs-137-Konzentration (in pCi Cs-137 pro g K) von 20jährigen beider Geschlechter im Zeitraum von 1966 bis 1969

Fig. 19. Concentration en Cs-137 (pCi Cs-137 par g K) de personnes de vingt ans des deux sexes, pour les années 1966 à 1969

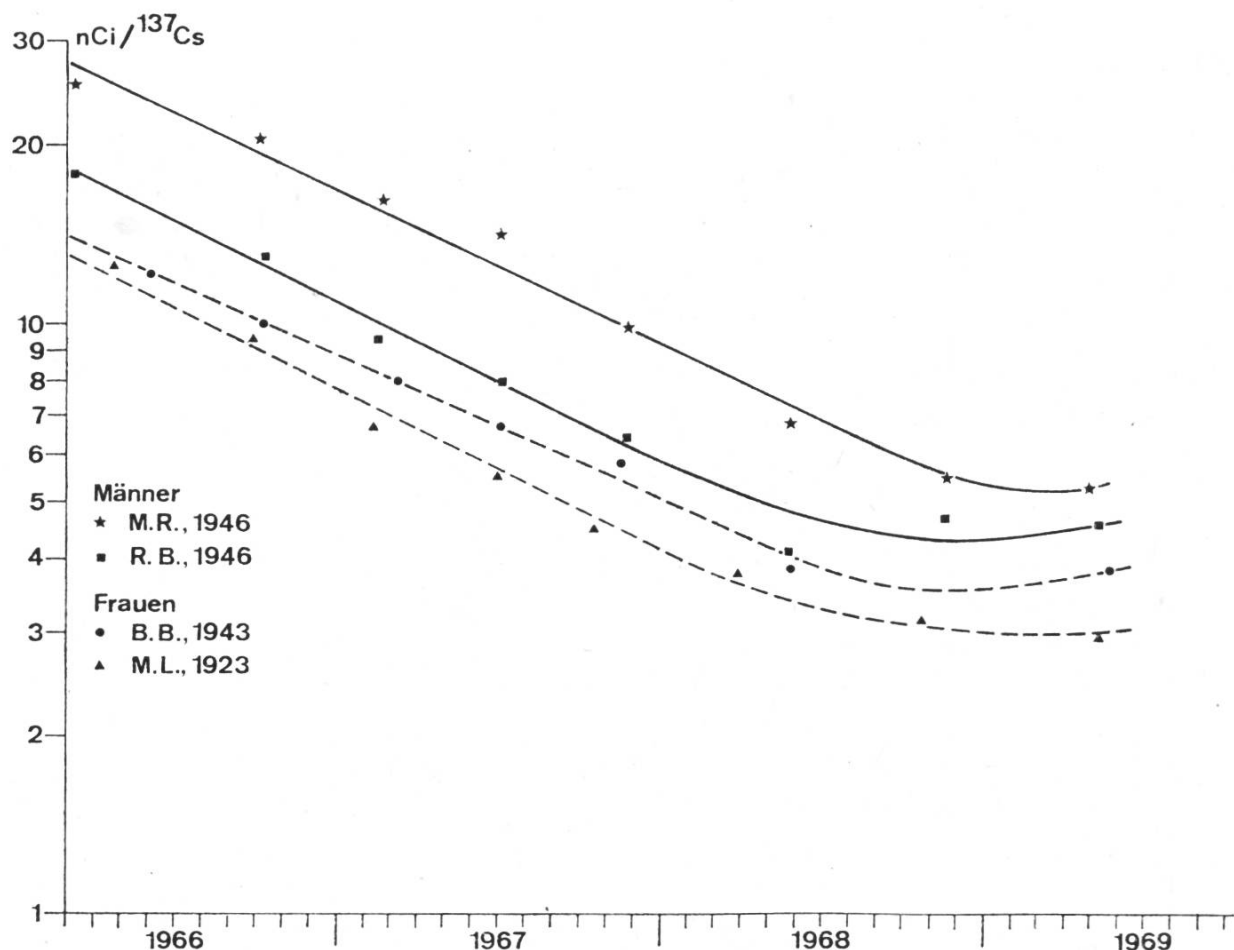


Fig. 20. Cs-Gehalt (in nCi Cs-137) von je 2 erwachsenen Personen, männlich und weiblich, im Zeitraum von 1966 bis 1969

Fig. 20. Activité en Cs-137 dans deux personnes de sexe masculin et deux personnes de sexe féminin, pour les années 1966 à 1969

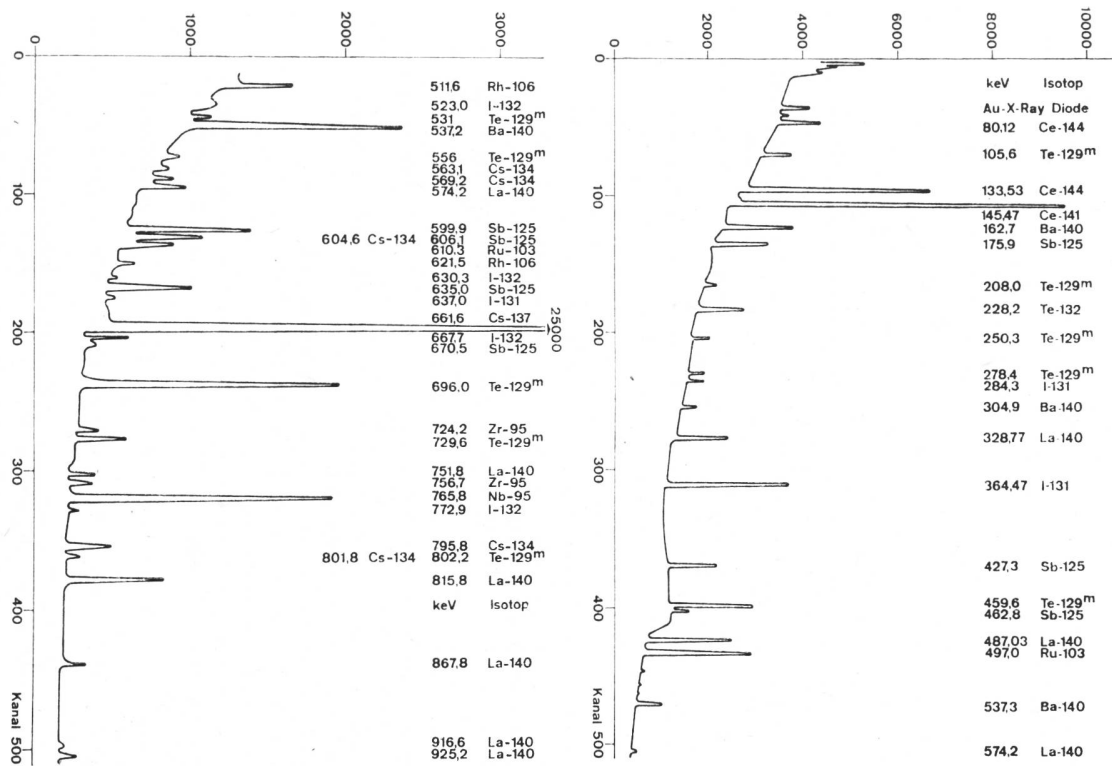


Fig. 21. Gamma-Spektrum der Spaltprodukte im Filter der Abluftüberwachungsanlage (Hochkamin) des Centre nucléaire Lucens, Sammlung 21. 1. 69 bis 30. 1. 69, Messung 24. 2. 69 mit Ge-Li-Planardiode

Fig. 21. Spectre gamma des produits de fission dans le filtre de l'appareil à la surveillance de l'air résiduaire (cheminée) du Centre nucléaire Lucens, collection 21. 1. 69 à 30. 1. 69, mesuré le 24. 2. 69 avec une diode planaire Ge-Li